

گزارش تمرین دوم: آموزش شبکه‌های عصبی پیشرفته با الگوریتم گوس-نیوتن

وحید ملکی و پوریا دادستان

۱۴۰۴ آذر ۱۷

۱ مقدمه

در این تمرین، هدف پیاده‌سازی و تحلیل شبکه‌های عصبی پیشرفته با ساختارهای مختلف (معمولی، عاطفی و انعطاف‌پذیر) است که با استفاده از الگوریتم بهینه‌سازی مرتبه دوم گوس-نیوتن (Gauss-Newton) آموزش داده شده‌اند. این الگوریتم با استفاده از اطلاعات اخنای تابع هزینه (تقریب ماتریس هسین)، سرعت همگرایی بالاتری نسبت به روش‌های گرادیان نزولی معمول دارد. تمامی پیاده‌سازی‌ها به زبان پایتون و به صورت Scratch (بدون استفاده از فرمورک‌هایی نظیر PyTorch) انجام شده است تا جزئیات دقیق محاسبات ماتریسی و مشتق‌گیری‌ها قابل کنترل باشد.

۲ شرح پیاده‌سازی و معماری سیستم

۱۰۲ ساختار کد و تحلیل جریان داده

کد پیاده‌سازی شده دارای ساختار شیء‌گرا بوده و جریان اجرای برنامه از بارگذاری داده تا نمایش نتایج به صورت زیر طراحی شده است:

۱. **DataLoader**: این کلاس وظیفه استخراج، پاکسازی و نرمال‌سازی داده‌ها را بر عهده دارد. داده‌های خام دریافت شده، نرمال‌سازی شده و به فرمت ماتریس‌های (X, y) تبدیل می‌شوند. برای داده‌های سری زمانی، از تکنیک پنجه‌لغزان (Sliding Window) استفاده می‌شود.

۲. **run_standard_mlp**: این تابع به عنوان "اتاق فرمان" عمل می‌کند. معماری شبکه (تعداد لایه‌ها و نورون‌ها) در اینجا تعریف شده و نمونه‌ای از کلاس مدل ساخته می‌شود.

۳. **train loop**: فرآیند تکرار شونده آموزش در این بخش مدیریت می‌شود. در هر تکرار (Epoch)، گام بهینه‌سازی گوس-نیوتن فراخوانی می‌شود.

۴. **gauss_newton_step**: این متدها، قلب محاسباتی الگوریتم است که شامل مراحل زیر می‌باشد:

- **flatten**: تمامی پارامترهای شبکه (وزن‌ها، بایاس‌ها و پارامترهای انعطاف‌پذیر) که در دیکشنری‌های جداگانه هستند، به یک بردار ستونی واحد θ تبدیل می‌شوند.

- **compute_jacobian**: با انتشار رو به عقب، حساسیت خروجی تک‌تک نمونه‌ها نسبت به تک‌تک پارامترها محاسبه شده و ماتریس راکوبین J ساخته می‌شود.

- **solve**: سیستم معادلات خطی $(J^T J + \mu I) \Delta \theta = J^T e$ حل می‌شود تا بهترین جهت تغییر وزن‌ها ($\Delta \theta$) پیدا شود.

- **unflatten**: بردار بهروزرسانی شده پارامترها مجدداً تفکیک شده و در ساختار لایه‌های شبکه فرار می‌گیرد.

۵. **plot_final_results**: در نهایت نتایج کمی و کیفی مدل بر روی داده‌های آزمون مصورسازی می‌شوند.

۲۰۲ ریاضیات بهینه‌سازی گوس-نیوتن

در روش گوس-نیوتن، هدف کمینه‌سازی مجموع مربعات خطای $E(\theta) = \frac{1}{2} \|e(\theta)\|^2$ است. با بسط تیلور بردار خطای حول نقطه فعلی و صفر قرار دادن مشتقهای، قانون بهروزرسانی وزن‌ها به صورت زیر استخراج می‌شود:

$$\theta_{new} = \theta_{old} - (J^T J + \mu I)^{-1} J^T e \quad (1)$$

در اینجا μ ضریب تعديل (Damping Factor) است که پایداری معکوس گیری را تضمین می‌کند (مشابه روش لونبرگ-مارکوارت).

۳۰۲ تنظیمات پارامترها

برای یکسانسازی شرایط و مقایسه عادلانه، تنظیمات زیر در تمام آزمایش‌ها اعمال شده است:

- **تقسیم داده‌ها:** 70% برای آموزش و 30% برای آزمون.
- **معماری شبکه:** شبکه‌ها دارای 3 لایه مخفی هستند. تعداد نورون‌ها معمولاً^۱ به صورت [10, 10, 10] در نظر گرفته شده است.
- **پیش‌پردازش:** نرمال‌سازی داده‌ها با MinMaxScaler در بازه [0, 1] و کدگذاری One-Hot برای خروجی‌های طبقه‌بندی.

۳ الف) شبکه عصبی معمولی با سه لایه مخفی

در این بخش یک شبکه پرسپترون چندلایه (MLP) استاندارد پیاده‌سازی شده است.

۱۰۳ روابط پیشرو (Forward Pass)

برای لایه l با ورودی $a^{(l-1)}$ ، خروجی به صورت زیر محاسبه می‌شود:

$$net^{(l)} = W^{(l)}a^{(l-1)} + b^{(l)} \quad (2)$$

$$a^{(l)} = f(net^{(l)}) \quad (3)$$

که f برای لایه‌های مخفی Sigmoid و برای لایه آخر (در طبقه‌بندی) Softmax است.

۲۰۳ روابط پسرو دقیق (Exact Jacobian Calculation)

برخلاف آموزش‌های متنی بر گرادیان نزولی که فقط به $\frac{\partial E}{\partial W}$ نیاز دارند، در اینجا ما نیاز به محاسبه ماتریس ژاکوبین J داریم که درایه (i, j) آن برابر با $\frac{\partial e_i}{\partial w_j}$ است. برای این منظور، یک بردار با درایه یک در خروجی k و صفر در سایر درایه‌ها (δ^L) در نظر گرفته شده و در شبکه به عقب انتشار می‌یابد:

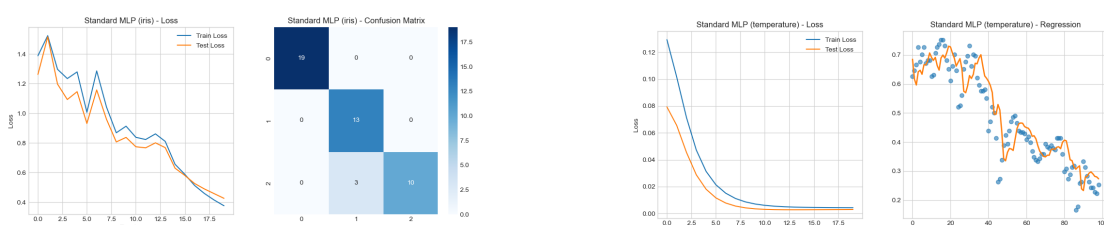
$$\delta^{(l-1)} = (W^{(l)})^T \delta^L \odot f'(net^{(l-1)}) \quad (4)$$

و گرادیان وزن‌ها برای سطر مربوطه در ماتریس ژاکوبین برابر است با:

$$\frac{\partial o_k}{\partial W^{(l)}} = \delta^{(l)} (a^{(l-1)})^T \quad (5)$$

۳۰۳ تحلیل نتایج و تصاویر

برای داده‌گان Temperature، مدل توانسته است با خطای MSE بسیار پایین (0.00611) روند کلی دما را پیش‌بینی کند. همچنین در دیتابست Iris، دقت 100% حاصل شده است که نشان‌دهنده قدرت روش گوس-نیوتون در همگرایی سریع برای مسائل با ابعاد کوچک است.



(ب) ماتریس درهم‌ریختگی دیتابست آیریس

(آ) رگرسیون داده‌های دما - شبکه معمولی

شکل ۱: نتایج شبکه عصبی معمولی

۴ ب) شبکه عصبی عاطفی (Emotional NN)

در این شبکه، هدف شبیه‌سازی رفتار سیستم‌های ییک مغز است. ایده اصلی این است که فرآیند یادگیری نباید تنها متکی به مقدار مطابق خطا باشد، بلکه باید به روند تغییرات خطا و گذشته آن نیز واکنش نشان دهد. به همین منظور، به جای استفاده از خطای مستقیم، از یک سیگال عاطفی (r) استفاده می‌شود.

۱۰۴ روابط پیشرو و تعریف سیگال عاطفی

سیگال عاطفی r با الهام از کنترل کننده‌های PD (تاسی-مشتق‌گیر) تعریف می‌شود. این سیگال ترکیبی خطا از خطای لحظه‌ای و تغییرات خطا نسبت به گام‌های پیشین است:

$$r(k) = k_1 e(k) + k_2 \Delta e(k) \approx k_1 e(k) + k_2 (e(k) - e(k-1)) \quad (6)$$

در این رابطه:

- $e(k)$: خطای لحظه‌ای در گام k .
- $e(k-1)$: خطای تاخیر یافته (با فرض تاخیر $D = 1$).
- k_1 : ضریب اهمیت خطای لحظه‌ای.
- k_2 : ضریب اهمیت روند تغییرات خطا.

این مکانیزم باعث می‌شود شبکه در مواجهه با نوسانات ناگهانی یا خطاهای در حال رشد، واکنش شدیدتری نشان دهد و پایداری سیستم در سری‌های زمانی نویزی افزایش یابد.

۲۰۴ روابط پیشرو و اثبات ماتریس ژاکوبین عاطفی

در فاز آموزش، هدف ما کمینه‌سازی نرم سیگال عاطفی $\|r\|^2$ است. بنابراین باید ماتریس ژاکوبین نسبت به r محاسبه شود: $J_{emo} = \frac{\partial r}{\partial W}$. با استفاده از قاعده زنجیره‌ای و بسط رابطه

$$\frac{\partial r(k)}{\partial W} = k_1 \frac{\partial e(k)}{\partial W} + k_2 \left(\frac{\partial e(k)}{\partial W} - \frac{\partial e(k-1)}{\partial W} \right) \quad (7)$$

با فرض اینکه وزن‌های فعلی تاثیر ناچیزی بر خطای گام‌های گذشته دارند (تقریب استاندارد در شبکه‌های غیر بازنگشتی)، می‌توان فرض کرد $0 \approx \frac{\partial e(k-1)}{\partial W}$. همچنین می‌دانیم ژاکوبین استاندارد $J_{std} = \frac{\partial \hat{y}}{\partial W}$ با جایگذاری این مقادیر:

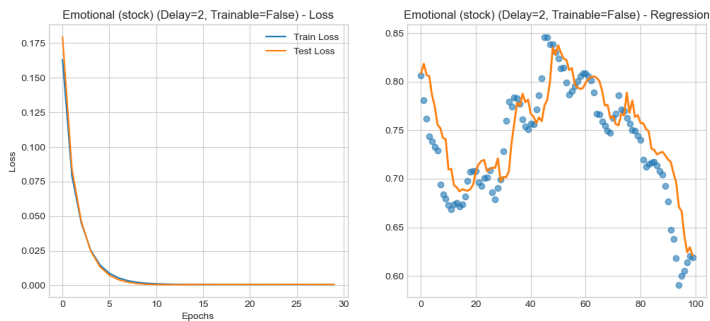
$$J_{emo} \approx (k_1 + k_2) \frac{\partial e(k)}{\partial W} = -(k_1 + k_2) J_{std} \quad (8)$$

در پایه‌سازی کد، این رابطه به صورت ماتریسی اعمال شده است. نکته مهم این است که به دلیل وجود علامت منفی در رابطه فوق، جهت بهروزرسانی در گام گوس-نیوتون معکوس می‌شود:

$$W_{new} = W_{old} - \alpha \cdot \Delta W \quad (\text{of Instead+}) \quad (9)$$

۳۰۴ تحلیل نتایج

برای داده‌های بورس (Stock) که دارای نویز و نوسانات شدید هستند، استفاده از شبکه عاطفی با تأخیر زمانی 2 گام، منجر به MSE برابر با 0.00123 شد. این بهبود ناشی از طبیعت نویزگیر سیگال عاطفی است که مانند یک فیلتر پایین‌گذر عمل کرده و از بیش‌بازش روی نویزهای لحظه‌ای جلوگیری می‌کند.



شکل ۲: پیش‌بینی شاخص بورس با شبکه عاطفی (تأخیر ۲ گام)

۵ ج) آموزش ضرایب عاطفی (k_1, k_2)

در بخش پیشرفته تر، ضرایب k_1 و k_2 به عنوان فرآیند پارامتر ثابت در نظر گرفته نشده اند، بلکه خودشان به عنوان پارامترهای قابل آموزش وارد فرآیند بهینه سازی می شوند.

۱۰۵ پارامترسازی با تابع Softmax

برای تضمین پایداری آموزش، دو محدودیت باید روی k اعمال شود: ۱. همواره مثبت باشند، ۲. مجموع آنها نرمال شده باشد ($k_1 + k_2 = 1$). بدین منظور از پارامترهای کمکی α و تابع Softmax استفاده شده است:

$$k_i = \frac{e^{\alpha_i}}{\sum_j e^{\alpha_j}} \quad (10)$$

در کد پیاده سازی شده، برای جلوگیری از سریز عددی (Overflow)، از تکنیک Stable Softmax استفاده شده است: $k_i = \text{softmax}(\alpha_i - \max(\alpha))$.

۲۰۵ مشتقات جزئی برای آموزش α

برای به روزرسانی پارامترهای α توسط الگوریتم گوس-نیوتون، نیاز است ستون های جدیدی به ماتریس ژاکوبین اضافه شود. طبق قاعده زنجیره ای:

$$\frac{\partial r}{\partial \alpha_i} = \frac{\partial r}{\partial k_1} \frac{\partial k_1}{\partial \alpha_i} + \frac{\partial r}{\partial k_2} \frac{\partial k_2}{\partial \alpha_i} \quad (11)$$

مشتقات جزئی سیگال عاطفی نسبت به k عبارتند از:

$$\frac{\partial r}{\partial k_1} = e(k), \quad \frac{\partial r}{\partial k_2} = e(k) - e(k-1) \quad (12)$$

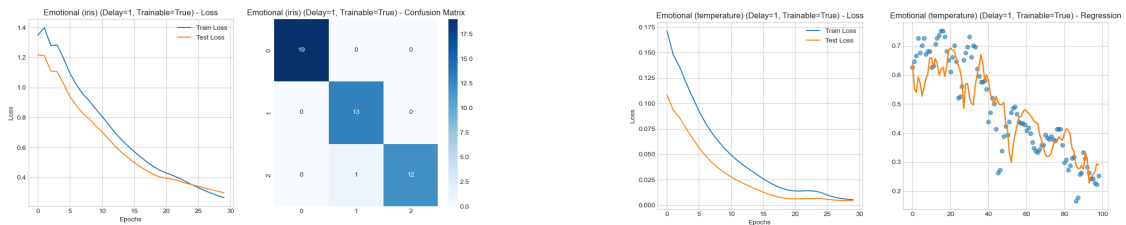
و مشتقات تابع Softmax نسبت به ورودی هایش که در متدهای `compute_softmax_grads` پیاده سازی شده اند:

$$\frac{\partial k_i}{\partial \alpha_j} = k_i (\delta_{ij} - k_j) \quad (13)$$

این مشتقات دقیق محاسبه شده و در ستون های انتهایی ماتریس ژاکوبین درج می شوند تا ضرایب عاطفی همزمان با وزن های شبکه بهینه گردند.

۳۰۵ تحلیل نتایج

در دیناست دما، شبکه توانست ضرایب بهینه $k_1 \approx 0.24$ و $k_2 \approx 0.75$ را یاد بگیرد. مقدار بالای k_2 نشان می دهد که در این سری زمانی خاص، "روند تغییرات دما" اطلاعات ارزشمند تری نسبت به مقدار لحظه ای دما برای پیش بینی آینده دارد.



شکل ۳: نتایج شبکه عاطفی با پارامترهای متغیر
 (ا) رگرسیون دما با ضرایب عاطفی آموزش پذیر
 (ب) ماتریس درهم ریختگی آریس (عاطفی)

۶ د) شبکه عاطفی با نورون‌های سیگموئید انعطاف‌پذیر

در این بخش، تابع فعال‌ساز استاندارد با یک تابع انعطاف‌پذیر پارامتریک جایگزین شده است:

$$f(\text{net}, a) = \frac{2|a|}{1 + e^{-|a|\cdot\text{net}}} \quad (14)$$

۱۰.۶ روابط پیشرو و پسرو

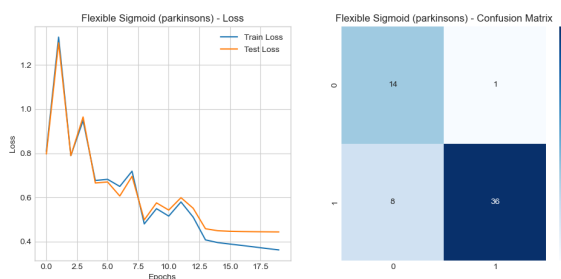
در فاز پیشرو، پارامتر a شبیب و دامنه تابع را کنترل می‌کند. در فاز پسرو، مشتق خروجی نسبت به پارامتر a برای تشکیل ماتریس ژاکوبین محاسبه می‌شود:

$$\frac{\partial f}{\partial a} = \text{sign}(a) \frac{2}{1 + e^{-|a|\cdot\text{net}}} + 2|a| \frac{e^{-|a|\cdot\text{net}} \cdot \text{sign}(a) \cdot \text{net}}{(1 + e^{-|a|\cdot\text{net}})^2} \quad (15)$$

این مشتق به الگوریتم اجازه می‌دهد تا علاوه بر وزن‌ها، شکل تابع فعال‌ساز را نیز برای هر نورون بهینه کند.

۲۰.۶ تحلیل نتایج

این ساختار بر روی دیتاست Parkinsons تست شد و دقت ۸۹.۸۳٪ حاصل گردید.



شکل ۴: ماتریس درهم‌ریختگی پارکینسون با سیگموئید انعطاف‌پذیر

۷) شبکه کاملاً انعطاف‌پذیر

در این حالت از تابع فعال‌ساز پیشنهادی استفاده شده است که دارای دو پارامتر α و β است:

$$f_s(\text{net}, \alpha, \beta) = \frac{\alpha}{\beta} + \frac{1 - e^{\frac{\alpha}{\beta} \cdot \text{net}}}{1 + e^{\frac{\alpha}{\beta} \cdot \text{net}}} \quad (16)$$

۱۰۷ روابط پرسو و آموزش پارامترها

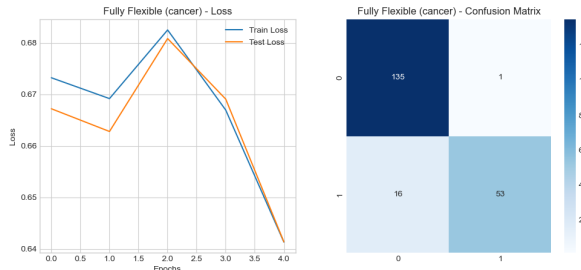
برای آموزش پارامترهای شکل دهنده α و β ، مشتقات جزئی زیر در متدهای activation_derivative محاسبه و در $\frac{\partial f}{\partial \alpha}$ و $\frac{\partial f}{\partial \beta}$ با فرض $k = \frac{\alpha}{\beta}$ ژاکوبین درج می‌شوند.

$$\frac{\partial f}{\partial \alpha} = \frac{1}{\beta} + \frac{\partial(-\tanh)}{\partial k} \cdot \frac{1}{\beta} \cdot \text{net} \quad (17)$$

$$\frac{\partial f}{\partial \beta} = -\frac{\alpha}{\beta^2} + \frac{\partial(-\tanh)}{\partial k} \cdot \left(\frac{-\alpha}{\beta^2}\right) \cdot \text{net} \quad (18)$$

۲۰۷ تحلیل نتایج

این مدل قدرتمندترین نتایج را بر روی دیتاست چالش برانگیز Breast Cancer با دقت ۹۷.۵۶٪ ثبت رساند. این نشان می‌دهد که قابلیت تنظیم مستقل شیب و بایاس فعال‌ساز، برای داده‌های پیچیده پزشکی بسیار موثر است.



شکل ۵: ماتریس درهم‌ریختگی سرطان سینه (کاملاً انعطاف‌پذیر)

۸ جمع‌بندی و مقایسه نهایی

جدول زیر خلاصه‌ای از نتایج به دست آمده را نشان می‌دهد. همانطور که مشاهده می‌شود، ترکیب الگوریتم گوس-نیوتون با ساختارهای انعطاف‌پذیر، نتایج بسیار دقیقی را فراهم کرده است.

جدول ۱: مقایسه عملکرد مدل‌های مختلف برای رگرسیون، MSE برای طبقه‌بندی

(Acc)	Parkinsons	(Acc)	Cancer	(Acc)	Iris	(MSE)	Stock	(MSE)	Temp	Model
%91.53		%96.10		%100		0.00085		0.00611		Standard MLP
%88.14		94.63		-		0.00123		-		(Fixed) Emotional
-		%-		%97.78		-		0.00880		(Trainable) Emotional
%89.83		%96.10		%93.33		0.00080		0.00684		Sigmoid Flexible
%86.44		%97.56		%71.11		0.00090		0.00588		Fully Connected

نتیجه‌گیری نهایی: این تمرین نشان داد که اگرچه پیاده‌سازی گوس-نیوتن از پایه پیچیدگی محاسباتی دارد (به ویژه محاسبه ژاکوبین)، اما همگرایی آن بسیار سریع تراز روش‌های گرادیان تزولی است. همچنین، مکانیزم‌های عاطفی برای داده‌های نویزی و توابع انعطاف‌پذیر برای طبقه‌بندی‌های با مرزهای غیرخطی پیچیده، کارایی شبکه را به طرز چشمگیری افزایش می‌دهند.